

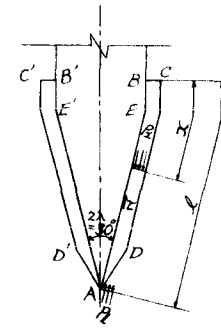
名城大学理工学部土木工学科教室 正会員 柴田道生  
名城大学理工学部土木工学科教室 正会員 深谷実

## 1. 緒言

くいの支持力は、くい先端の支持面積に大きく影響する、つまり先端の支持面積の大きさほど支持力も大きく現われることは当然である。著者たちは、くい先端部に放射状に仕切板を取り付けたくいを地盤に打ち込み、この仕切板によって外周閉塞効果を生じて支持面積が増加し、支持力の増大することを実験によって確認している。ここに、この放射状仕切板による閉塞効果の理論的解明と、理論式による数値計算を行った。また実験結果との対比により、仕切板を有するくいは結果的に、その支持面積を半径において仕切板の高さのほぼ  $\frac{1}{2}$  だけ拡大すると考えられる。

## 2. 閉塞効果の理論解

いま先端角  $30^\circ$  の円錐形先端部の周囲に放射状仕切板6枚を有するくいの、仕切板の一枚をオーナメント ABCD にて表す。このくいが地中に貫入すれば、相互の仕切板の間に土が嵌入し、くいの貫入に伴い嵌入された土は圧縮され、密実な土質となり、いわゆる閉塞効果を生ずる。仮に仕切板内に嵌入された密実な土質が、地盤の土質より密実な状態であれば、このくいの閉鎖断面積は BB' より CC' に増大され、くいの先端支持力は当然閉鎖断面積に比例して増加するであろう。



オーナメント

いま、左：仕切板内の任意の点  $x$  における土の圧縮力。

右： $x$  の点に生ずる摩擦力。

$P_x$ ：仕切板内の土の摩擦に抗して  $S_x$  だけ土を仕切板内に押込む力。

$U$ ：仕切板と仕切板との間の周長。

$$\text{すると, } P_x = P_x - \int_x^l U f_x dx \quad (1)$$

$$(1) \text{ 式を微分して, } \frac{dP_x}{dx} = - U f_x \quad (2)$$

$$x \text{ の点の土の圧縮量を } \delta_x \text{ とすると, } \delta_x = S_x - \frac{1}{AE} \int_x^l P_x dx \quad (3)$$

但し、A：仕切板内の土の断面積, E：土の圧縮体積係数。

$$(3) \text{ 式を 2 度微分すると, } \frac{d^2 \delta_x}{dx^2} = - \frac{1}{AE} \frac{dP_x}{dx} \quad (4)$$

$$(4) \text{ 式に (2) 式を代入して, } \frac{d^2 \delta_x}{dx^2} - \frac{U}{AE} f_x = 0 \quad (5)$$

さて、ここで  $f_x = C_s \delta_x$  の関係が成立するものとする。但し,  $C_s$  : 滑動係数。

(6) 式を(5)式に代入すると、 $\frac{d^2\delta_x}{dx^2} - \alpha^2 \delta_x = 0$  ----- (7) 即ち(7)式はオイラー型線形微分方程式である。

あり、その解は  $\delta_x = A e^{\alpha x} + B e^{-\alpha x}$  ----- (8) 但し、 $\alpha^2 = \frac{C_s U}{A E}$ .

次に、(8)式を用いて、円錐斜面AEにおける剪断抵抗力では、

$$\tau = \omega H K_p \sin(\lambda + \phi) \tan \theta \quad \text{--- (9)}$$

ここで、 $\omega$ : 土の単位重量、

$H$ : 地表面より(1)先端部までの深さ、

$\lambda$ : (1)の先端角度、

$\phi$ : 土の内部摩擦角、

いま(9)式の  $\tau = P_x$  とすると、(1)式は  $P_x = \tau - \int_x^l f_x dx$  ----- (10)

さて、(8)式の  $A, B$  は積分常数で、 $x=0, \tau = \delta_x = S_0$  ( $x=0$  の土の圧縮量)

$x=l, \tau = \delta_x = S_l$  ( $x=l$  の土の圧縮量)

の境界条件を(8)式に用いると、

$$A = S_0 - \frac{S_0 e^{\alpha l} - S_l}{2 \sinh \alpha l}$$

$$\text{但し } \alpha l = l \sqrt{\frac{C_s U}{A E}}$$

$$B = \frac{S_0 e^{\alpha l} - S_l}{2 \sinh \alpha l}$$

従って(8)式は、 $\delta_x = \left( S_0 - \frac{S_0 e^{\alpha l} - S_l}{2 \sinh \alpha l} \right) e^{\alpha x} + \left( \frac{S_0 e^{\alpha l} - S_l}{2 \sinh \alpha l} \right) e^{-\alpha x}$  ----- (11)

さて、任意の点  $x$  の土の圧縮力  $P_x$  は (10) 式と (6) 式より

$$P_x = \tau - \int_x^l f_x dx = \tau - \int_x^l C_s \delta_x dx \quad \text{--- (12)}$$

(12) 式に(11)式を入れて計算すると、

$$P_x = \tau - U C_s \left\{ \frac{S_0}{\alpha} (e^{\alpha l} - e^{\alpha x}) - \frac{S_0 e^{\alpha l} - S_l}{\alpha 2 \sinh \alpha l} (e^{\alpha l} - e^{\alpha x}) - \frac{S_0 e^{\alpha l} - S_l}{\alpha 2 \sinh \alpha l} (e^{-\alpha l} - e^{-\alpha x}) \right\} \quad \text{--- (13)}$$

次に(13)式に(13)式を入れて計算すると、 $\delta_x = S_l - \frac{1}{AE} \tau (l-x) + \frac{U C_s}{AE} \left\{ \frac{S_0}{\alpha} e^{\alpha l} (l-x) \right.$

$$- \frac{S_0}{\alpha^2} (e^{\alpha l} - e^{\alpha x}) - \frac{S_0 e^{\alpha l} - S_l}{\alpha 2 \sinh \alpha l} e^{\alpha l} (l-x) + \frac{S_0 e^{\alpha l} - S_l}{\alpha^2 2 \sinh \alpha l} (e^{\alpha l} - e^{\alpha x}) - \frac{S_0 e^{\alpha l} - S_l}{\alpha 2 \sinh \alpha l} e^{-\alpha l} (l-x)$$

$$- \frac{S_0 e^{\alpha l} - S_l}{\alpha^2 2 \sinh \alpha l} (e^{-\alpha l} - e^{-\alpha x}) \quad \text{--- (14)}$$

$\therefore \tau = S_0 = 0$  と  $P_x = 0$  とすると、(13)式より、 $S_l = \frac{\tau \alpha \sinh \alpha l}{U C_s (e^{\alpha l} - e^{\alpha x}) - U C_s (e^{-\alpha l} - e^{-\alpha x})}$  ----- (15)

(15)式の  $S_l$  を(11)式に代入して、 $S_l = \frac{2 \sinh \alpha l \delta_x - S_0 (e^{\alpha x} - e^{-\alpha x})}{2 \sinh \alpha l e^{\alpha x} - e^{\alpha x} e^{-\alpha x} + e^{\alpha x} e^{-\alpha x}} \quad \text{--- (16)}$

(16)式の  $S_l$  は(15)式によつて求められるが、 $S_0, S_l$  の値が求められる。

次に仕切板内の土の全圧縮力は、(12)式、(11)式より、

$$\Sigma P_x = \tau - U C_s \int_0^l \delta_x dx = \tau - U C_s \int_0^l \left\{ \left( S_0 - \frac{S_0 e^{\alpha l} - S_l}{2 \sinh \alpha l} \right) e^{\alpha x} + \left( \frac{S_0 e^{\alpha l} - S_l}{2 \sinh \alpha l} \right) e^{-\alpha x} \right\} dx$$

$$= \tau - U C_s \left\{ \frac{S_0}{\alpha} (e^{\alpha l} - 1) - \frac{S_0 e^{\alpha l} - S_l}{\alpha 2 \sinh \alpha l} (e^{\alpha l} - 1) - \frac{S_0 e^{\alpha l} - S_l}{\alpha 2 \sinh \alpha l} (e^{-\alpha l} - 1) \right\} \quad \text{--- (17)}$$

次に、 $x$  の奥において仕切板及び円錐斜面に対する垂直圧力を  $\sigma_x$  とすると、

$$\sigma_x = \frac{C U + W A}{U \cdot \tan \theta} \left( e^{\frac{U V \tan \theta}{A} x} - 1 \right) \quad \text{--- (18)}$$

但し,  $B_x = \nu R_x$  と考える.

C: 土の粘着力.

A: 円錐斜面と仕切板とに挟まれる断面積.

又、仕切板及び円錐斜面に生ずる摩擦力  $f_x$  は,

$$f_x = (C + B_x \tan \theta) U \quad \dots \dots \dots \quad (19)$$

で今へりれ、(19)式に(18)式を代入して、

$$f_x = (CU + wA) e^{\frac{UV \tan \theta}{A} x} - wA$$

従つて仕切板内の全摩擦力  $F_x$  は

$$F_x = \int_0^l f_x dx = \frac{(CU + wA)A}{UV \tan \theta} (e^{\frac{UV \tan \theta}{A} l} - 1) - wAl \quad \dots \dots \dots \quad (20)$$

### 3. 数値計算.

いま本体正六角形の形状が其のまま先端に移行するくの先端部に、オフ2回に示すように高さ 50mm の仕切板を 6 枚設定した短径 30cm のコンクリートくの取扱い、仕切板による土の閉塞効果が表わされるか否かを前述した理論式を用ひて計算して見る。前述の理論式の各数値を次のように定める。

$C_s : 0.5 \text{ kg/cm}^2$  (一般に  $C_s$  の値は 0.9 ~ 1.0  $\text{kg/cm}^2$  と考へられてる。)

$U : \frac{17.5+0}{2} + 5 + 5 = 18.75 \text{ cm}$

$A : \frac{1}{2} \left( \frac{23+0}{2} + \frac{17.5+0}{2} \right) \times 5 = 50.625 \text{ cm}^2$

$H : \text{くの根入長} = 5.6 \text{ m}$ ,

$E : \text{土の弾性係数} E'$ , 土の材質による指標を  $m$ , とする

普通砂の場合  $m = \frac{1}{3}$ ,  $E'$  の値はボアソン比 0.25 の粗砂では

$$E' = 280 \text{ kg/cm}^2 \quad \therefore E = \frac{280}{3} = 840 \text{ kg/cm}^2$$

$$a : a = \sqrt{\frac{C_s U}{AE}} = \sqrt{\frac{0.5 \times 18.75}{50.625 \times 840}} = 0.015 \text{ cm}^{-1}$$

$$\alpha l = 0.015 \times 69 \text{ cm} = 1.095 \text{ (無次元)}$$

$$w : 1.6 \text{ kg/cm}^2 \quad k_p : k_p = \frac{1 + \sin \theta}{1 - \sin \theta} \quad \lambda : \lambda = 15^\circ (2\lambda = 30^\circ)$$

$\theta$ : 自然地盤土質の内部摩擦角  $\theta = 30^\circ$ .

先ず  $S_e$  の値は(15)式を用ひる。この場合  $l = 69 \text{ cm}$  にとどめ、閉塞効果を表わす位置は先端より 1/3cm 上方と考え、 $x = 69 - 19 = 50 \text{ cm}$  とする。

各数値を代入して  $S_e = 1.094 \text{ cm}$   $\dots \dots \dots \quad (21)$

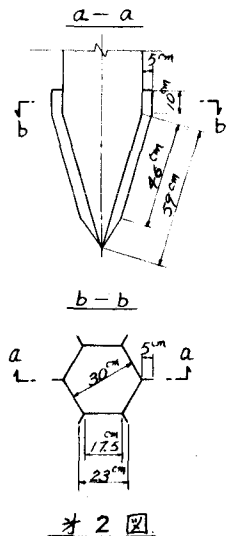
但し、(15)式の  $T$  は、 $T = AWHK_p \sin(\lambda + \theta) \tan \theta$ ,  $\theta = 30^\circ$ , とすると  $T = 55.54 \text{ kg}$ 。

この  $S_e$  の値を(16)式に代入する。この場合  $S_o$  の値は  $x=0$  の位置の数値であるから  $x=0$  とする。

今  $S_o = S_{x=0}$ , 次に  $S_o, S_o$  の値を(14)式に代入して  $S_{x=0}$  の値を求める。この場合も  $S_o = S_{x=0}$  であるから  $x=0$  とする。 $S_{x=0} = 0.9873 \text{ cm}$ , 即ち  $S_o = 0.3873 \text{ cm}$   $\dots \dots \dots \quad (22)$

次に(17)式に  $S_e, S_o$  の値を代入して、 $\sum R_x = T - UC_s \times 44.9857 = T - 422 \text{ kg}$   $\dots \dots \dots \quad (23)$

(23)式に示す  $\sum R_x$  が仕切板内で摩擦力として働くかとすれば(20)式に示す  $F_x$  に等しい筈であるが



オフ2回

$$\therefore \sum R_x = F_x, \text{ 次に (23) 式により } \sum R_x = F_x = \tau - 422 \text{ kN} \quad (24)$$

$$(24) \text{ 式の } \tau = AWHK_p \sin(\lambda + \theta) \tan \theta = AWH \frac{1+\sin\theta}{1-\sin\theta} \sin(\lambda + \theta) \tan \theta$$

で表わされるが、仕切板内で摩擦力が生じるとすると土の内部摩擦角 $\theta$ の値も変化する筈である。

$$\text{従って (20) 式より } \frac{(CU+WA)A}{UV \tan \theta} (e^{\frac{UV \tan \theta}{A} l} - 1) - WAL = AWH \frac{1+\sin\theta}{1-\sin\theta} \sin(\lambda + \theta) \tan \theta - 422 \quad (25)$$

(25) 式において土質を砂とすれば  $C=0$ , ここでシルトスは粘土を含む砂質土の場合  $\sqrt{V \tan \theta} = 0.03$ ,

$$(25) \text{ 式に数値を代入して (25) 式を満足する } \theta \text{ の値を求めると, } \theta \approx 40^\circ, \text{ いま } \theta \text{ と } N \text{ 値との関係式 } \theta = \sqrt{1/2N} + 20 \text{ より } \theta = 40^\circ \text{ とすると } N \approx 33 \text{ となる。}$$

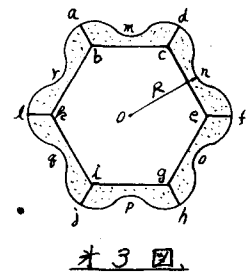
即ち、仕切板内の土質の  $N$  値は  $N \approx 33$  となり、地盤の  $N$  値がこの値以下であれば、閉鎖断面積は仕切板の部分まで増大させることができる。

#### 4. 仕切板による閉鎖断面積の増加分

前述したように、仕切板に囲まれた部分の土は圧密、密実化される結果閉鎖断面積は増加されることとは明らかになつたが、先端支持力を計算する場合の閉鎖断面積はどれほどに算定さればよいかという点が問題になる。いま、オフ図において、 $ab, cd, ef, \dots$  を仕切板とすると、土の密実化の範囲は  $a m d n f o h \dots$  の曲線によつて囲まれた範囲と考えられる。従つて、増加後の閉鎖断面積の半径 $R$ は  $R=ON$  と考えてよい。そうすると、仕切板の長さ  $cd$  の約  $\frac{1}{2}$  を本体の半径に加えた長さが、閉鎖断面積の半径と考えられる。

オフ表は、先端地盤  $N$  値が 30 程度の現場に打撃貫入後、くり戻荷試験を行なつて得た各々のくりの鉛直支持力の数値を示したものである。これにより仕切板による支持力の増加が明るかに確認され、約 20% 程度の増加が認められる。

一方、仕切板の長さの約  $\frac{1}{2}$  を本体の半径に加へた長さを、閉鎖断面積の半径とし、これによつて得られる先端支持力  $R_p = 40 NAP$ 、によつて  $R_p$  を算定すると、仕切板による支持力の増加は、約 25% となり、仕切板設定による閉鎖断面積が、ほぼ、実際と一致する。



オフ図

オフ表 戻荷試験結果比較表

諸元		円形くり	仕切板を有しない六角くり	高さ5cmの仕切板を設定した六角くり
くり長		6m	6m	6m
断面	諸元	直径 30cm	短径 30cm 長径 36cm	短径 30cm 長径 36cm
断面積		707 cm <sup>2</sup>	779 cm <sup>2</sup>	779 cm <sup>2</sup>
載荷試験支持力		49t	54t	66t

#### 参考文献

山原浩、—鋼管くりの支持力機構、  
土と基礎 Vol.17, No.11

柴田道生、深谷実、—異形合成くりの特性に関する 2,3 の考察、  
土木学会、第 26 回年次学術講演会。